

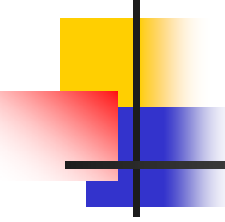
Calendario de la Asignatura

Curso 2013/2014

Introducción

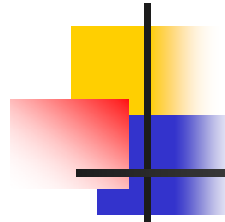
Sergio Esteban
sesteban@us.es

Departamento de Ingeniería Aeroespacial y Mecánica de Fluidos



Planificación de la Asignatura

- Para organizar el trabajo se plantean 3 sesiones de control
 - Etapas del diseño planificadas con entregas de documentos y presentaciones:
 - Diseño Preliminar (20-10-13)
 - 7 Clases de teoría previas a la revisión.
 - Revisión 2.0 – (20-11-13)
 - 7+2 Clases de teoría previas a la revisión.
 - Revisión 3.0 – (7/8-01-14)
 - 7 Clases de teoría previas a la revisión.
 - +2 Clases comodín
 - Entrega Final – (04-02-14).
 - 26 días entre rev. 3.0 y entrega final.



Calendario (Entregas)

septiembre 2013						
lu	ma	mi	ju	vi	sa	do
						1
2	3	4	5	6	7	8
9	10	11	12	13	14	15
16	17	18	19	20	21	22
23	24	25	26	27	28	29
30						

octubre 2013						
lu	ma	mi	ju	vi	sa	do
	1	2	3	4	5	6
7	8	9	10	11	12	13
14	15	16	17	18	19	20
21	22	23	24	25	26	27
28	29	30	31			

noviembre 2013						
lu	ma	mi	ju	vi	sa	do
			1	2	3	
4	5	6	7	8	9	10
11	12	13	14	15	16	17
18	19	20	21	22	23	24
25	26	27	28	29	30	

diciembre 2013						
lu	ma	mi	ju	vi	sa	do
						1
2	3	4	5	6	7	8
9	10	11	12	13	14	15
16	17	18	19	20	21	22
23	24	25	26	27	28	29
30	31					

enero 2014						
lu	ma	mi	ju	vi	sa	do
		1	2	3	4	5
6	7	8	9	10	11	12
13	14	15	16	17	18	19
20	21	22	23	24	25	26
27	28	29	30	31		

febrero 2014						
lu	ma	mi	ju	vi	sa	do
			1	2		
3	4	5	6	7	8	9
10	11	12	13	14	15	16
17	18	19	20	21	22	23
24	25	26	27	28		

Revisión 3.0

Entrega Final

Calendario (Sesiones Tutorías)

septiembre 2013						
lu	ma	mi	ju	vi	sa	do
						1
2	3	4	5	6	7	8
9	10	11	12	13	14	15
16	17	18	19	20	21	22
23	24	25	26	27	28	29
30						

octubre 2013						
lu	ma	mi	ju	vi	sa	do
	1	2	3	4	5	6
7	8	9	10	11	12	13
14	15	16	17	18	19	20
21	22	23	24	25	26	27
28	29	30	31			

noviembre 2013						
lu	ma	mi	ju	vi	sa	do
			1	2	3	
4	5	6	7	8	9	10
11	12	13	14	15	16	17
18	19	20	21	22	23	24
25	26	27	28	29	30	

diciembre 2013						
lu	ma	mi	ju	vi	sa	do
						1
2	3	4	5	6	7	8
9	10	11	12	13	14	15
16	17	18	19	20	21	22
23	24	25	26	27	28	29
30	31					

enero 2014						
lu	ma	mi	ju	vi	sa	do
		1	2	3	4	5
6	7	8	9	10	11	12
13	14	15	16	17	18	19
20	21	22	23	24	25	26
27	28	29	30	31		

febrero 2014						
lu	ma	mi	ju	vi	sa	do
			1	2		
3	4	5	6	7	8	9
10	11	12	13	14	15	16
17	18	19	20	21	22	23
24	25	26	27	28		

Revisión 3.0

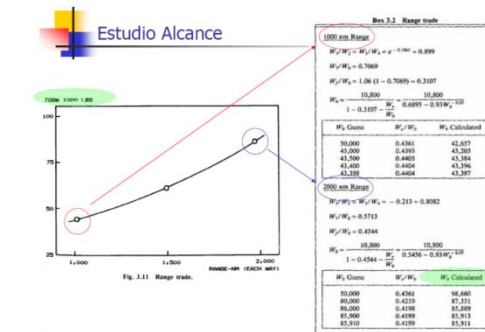
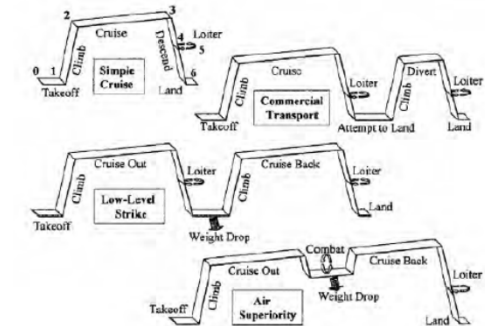
Cálculo de Aviones © 2012 Sergio Esteban Roncero, sesteban@us.es

Entrega Final



Diseño Preliminar (20-10-13)

- Diseño:
 - Definición de **intenciones**.
 - Concepto a grandes rasgos: "**diseño en servilleta**".
- **Primeras estimaciones: métodos estadísticos**
 - Aerodinámica
 - Dimensionado de L/D
 - Estructuras
 - Dimensionado inicial mediante proceso iterativo
 - **Pesos iniciales:**
 - Vacío
 - Combustibles por segmentos
 - Carga de pago
 - Actuaciones
 - **Definición** y estudio de los **diferentes segmentos** de la **misión**
 - Estabilidad y Control
 - **Dimensionado Superficies**



Revisión 2.0 - (20-11-13) - I

- Diseño:
 - Definir **diseño final** a grandes rasgos, no necesariamente en CAD en esta primera versión, pero ayudaría.
 - No hay marcha atrás. Enseñar todas las cartas.
 - Interacción: Aero. Estab., Prop y Actuaciones, Estructuras
- Aerodinámica:
 - Selección preliminar de los **perfíles** para las superficies sustentadoras.
 - Definir la precisión en los **modelos de polares** más exactos.
 - Determinación inicial de las **características iniciales aerodinámicas**.
 - Interacción: Estruc. Estab. Actua.
- Propulsión y Actuaciones:
 - Primera **estimación** de **actuaciones** (grandes rasgos).
 - **Diagrama T/W vs W/S**
 - **Definir planta motora.**
 - Interacción: Aero, Estruc, Diseño

Estimación $C_{L\alpha}$ - subsónica

h es la altura del "endplate"

Endplate: $A_{\text{effective}} = A(1 + 1.9/h)$

Winglet: $A_{\text{effective}} \approx 1.2A$

Flecha del ala en la zona del ala Con máxima cuerda

S_{exposed} es el área que ve el flujo

$\frac{S_{\text{exposed}}}{S_{\text{ref}}} (F)$

$F = 1.07(1 + d/b)^2$

Factor de sustentación del fuselaje

d = diámetro del fuselaje

$F < 1 \sim 0.98$

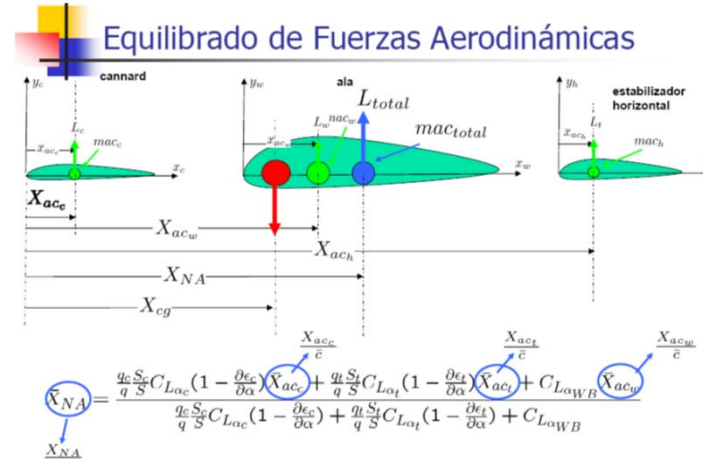
$$C_{L\alpha} = \frac{2\pi A}{2 + \sqrt{4 + \frac{A^2\beta^2}{\eta^2} \left(1 + \frac{\tan^2 \Lambda_{\max, f}}{\beta^2}\right)}} \left(\frac{S_{\text{exposed}}}{S_{\text{ref}}} \right) (F)$$

$$\eta = \frac{C_{L\alpha}}{2\pi/\beta}$$

Efficiencia aerodinámica del perfil

Efficiencia aerodinámica del perfil

23/10/2008 Cálculo de Aviones © 2008 Sergio Esteban Roncero 12 UFSI

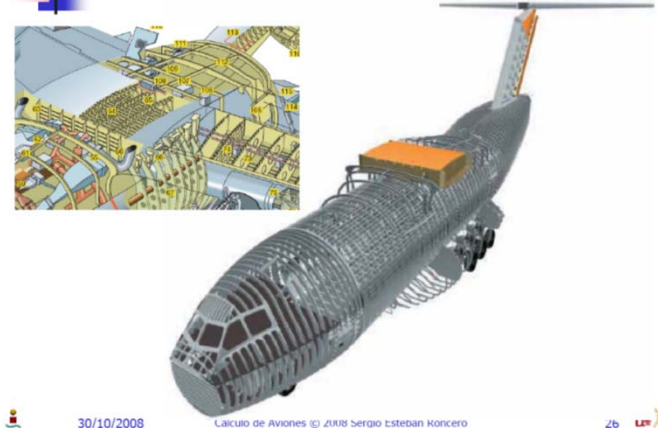


30/05/2008 Cálculo de Aviones © 2008 Sergio Esteban Roncero 17 UFSI

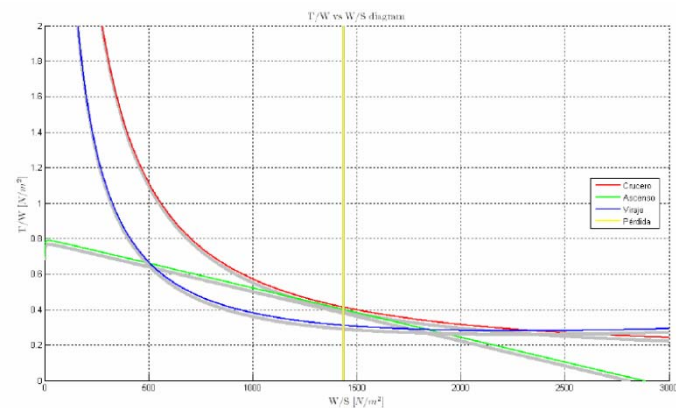
Revisión 2.0 – (20-11-13) - II

- Estabilidad:
 - Estudio del **trimado**:
 - Viabilidad del diseño mediante estudio de trimado.
 - Plantear problemas de configuración y prever solución para rev. 3.
 - Inicio de la **estabilidad Estática**.
 - Inicio modelado (**derivadas estabilidad**).
 - Interacción: Diseño Estruc. Aero.
- Estructuras:
 - **Estudio de masa (fracciones)** preliminar para poder proveer estimación **centro gravedad**.
 - **Identificar** las cargas que actúan en la **aeronave** en diferentes configuraciones.
 - Diseño de **estructura preliminar** y estudio de ajuste de pesos.
 - Interacción: Diseño, actuaciones

A400M – Estructura del fuselaje

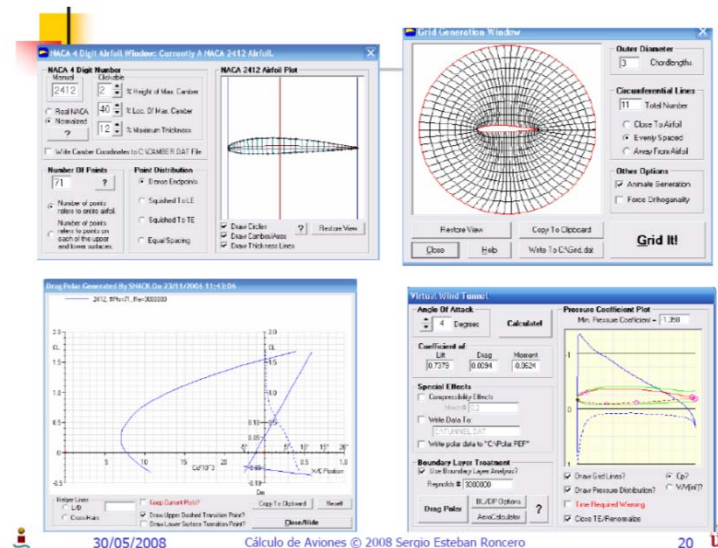
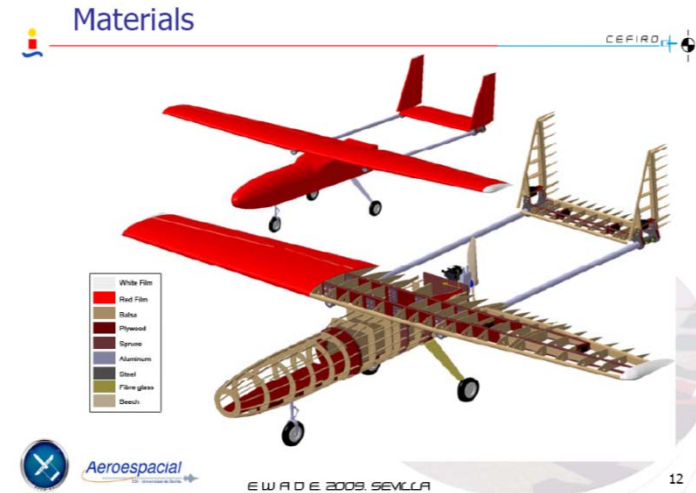


26



Revisión 3.0 – (7/8-01-14) – I

- Diseño:
 - Diseño CAD mas detallado:
 - Dimensiones mas precisas de todos los componentes
 - Mostrar evolución del diseño.
 - Definición de sistemas.
 - Identificación más realista de pesos interacción estructuras.
- Estructuras:
 - Definición del centro de gravedad más preciso mediante estimaciones más exactas de los pesos de los componentes.
 - Definir necesidades estructurales (refuerzos) debido a las cargas:
 - Aerodinámicas
 - Estructurales.
 - Estudio de posibles materiales para definir pesos de forma más precisa.



Revisión 3.0 – (7/8-01-14) - II

■ Aerodinámica:

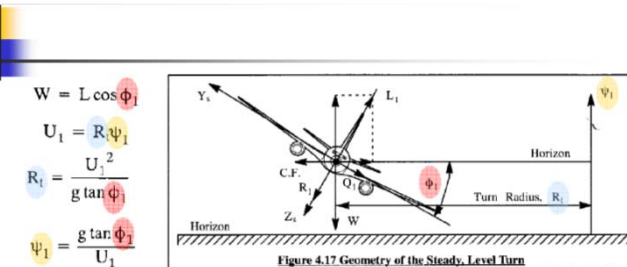
- Selección depurada de los perfiles para superficies sustentadoras.
- Estudio de la polar del avión para las diferentes configuraciones:
 - Despegue y aterrizaje.
 - Subida.
 - Crucero.
 - Espera.

■ Estabilidad:

- Revisión del estudio de trimado para nuevas configuraciones.
- Estudio de la estabilidad Estática:
 - Determinación de los valores de las derivadas de estabilidad críticas.
 - Determinación de la ubicación, forma, tamaño de las derivas para cumplir situaciones críticas (viento, fallo motor).
- Definición del modelo de estabilidad dinámica:
 - Modelado definido (derivadas de estabilidad).
 - Preparando estudio estabilidad dinámica.

■ Propulsión y Actuaciones:

- Estudio en precisión de las actuaciones según segmentos.
 - Ángulos, velocidades, T/W, W/S.
- Cálculos de potencia requerida y necesaria finales.



At this point, the concept of load factor, n is introduced:

$$L = nW$$

$$n = 1/\cos\phi_1$$

$$Q_1 = \frac{g \sin^2 \phi_1}{U_1 \cos \phi_1} = \frac{g}{U_1} (n - \frac{1}{n})$$

$$R_1 = \frac{g \sin \phi_1}{U_1} = \frac{g}{n U_1} \sqrt{n^2 - 1}$$



14/12/2008

Cálculo de Aviones © 2008 Sergio Esteban Roncero

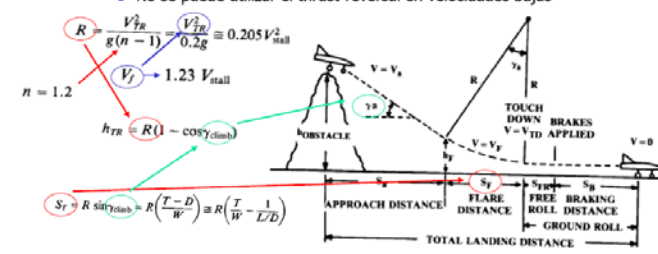
8



Aterrizaje - 3

V_f is 1.3 V_{stall}

- Flare: Velocidad de aterrizaje $V_{TD} = 1.15V_{stall}$
 - El avión decelera desde V_f hasta $1.15V_{stall}$, por lo que la velocidad media es $1.23V_{stall}$.
- Rodadura en pista: después de la toma de contacto el avión rueda durante varios segundos antes que el piloto aplique frenos:
 - Velocidad inicial es V_{TD} y la final es cero.
 - Si hay thrust-reversal, se aproxima con el 40-50% del empuje negativo.
 - No se puede utilizar el thrust-reversal en velocidades bajas



30/05/2008

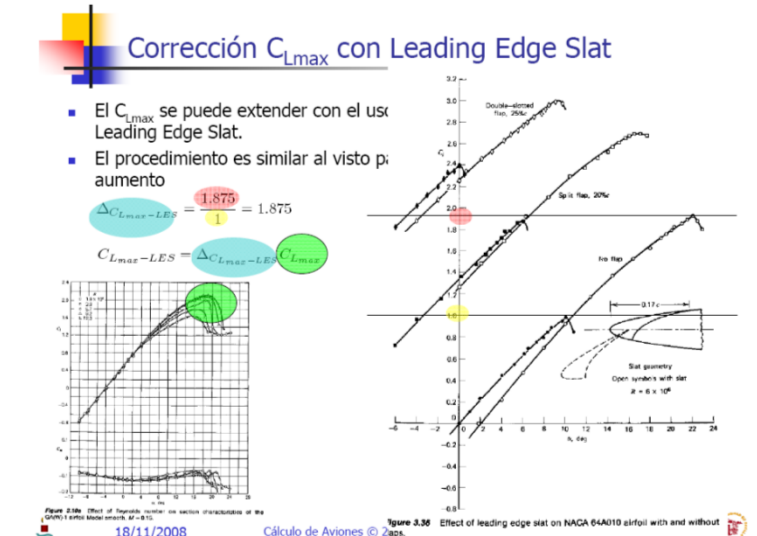
Cálculo de Aviones © 2008 Sergio Esteban Roncero

32



Entrega Final – (04-02-14) - I

- Diseño:
 - Diseño CAD completo.
 - Mostrar evolución del diseño.
 - Justificación del diseño y por qué debería de comprarlo.
 - Que avances tecnológicos o que ideas hacen que vuestro diseño sea único.
- Aerodinámica:
 - Estudio polar extenso en diferentes configuraciones de vuelo:
 - Configuración limpia y sucia.
 - Métodos empleados para la mejora de la eficiencia aerodinámica.
- Estabilidad:
 - Revisión del estudio de trimado para nuevas configuraciones.
 - Revisión estudio de la estabilidad Estática.
 - Estudio estabilidad dinámica:
 - Requisitos FAR en amortiguamiento, respuestas.



Entrega Final – (04-02-14) - II

Estructuras:

- Revisión centro de gravedad.
- Distribución de pesos revisado.
- Variación del centro de gravedad en segmentos aplicables.
- Cargas y ubicación del tren de aterrizaje.
- Justificar empleo materiales en diferentes áreas.
- Perfiles internos si es posible.

Estimación de Pesos - VI

Cargo Transport Airplanes: $W_{\text{wing}} = 0.0051 (W_{dg} N_c)^{0.557} S_w^{0.649} A^{0.5} (l/c)^{-0.4} (1 + \lambda)^{-1} (\cos \alpha)^{-1.0} S_{cw}^{0.1}$

Raymer Method: $W_{\text{horizontal tail}} = 0.0379 K_{ah} (1 + F_w B_h)^{0.25} W_{dg}^{0.639} N_c^{0.10} S_{hw}^{0.75} L^{-1.0}$
 $\times K_y^{0.704} (\cos \alpha_h)^{-1.0} A_h^{0.164} (1 + S_w / S_{hw})^{0.1}$

$W_{\text{vertical tail}} = 0.0026 (1 + H_e / H_v)^{0.125} W_{dg}^{0.556} N_c^{0.536} L^{-0.2} S_h^{0.5} K_z^{0.875} (\cos \alpha_v)^{-1} A_v^{0.35} (l/c)^{-0.5}$

$W_{\text{fuselage}} = 0.3280 K_{dor} K_{L1} (W_{dg} N_c)^{0.4} L^{0.25} S_{hw}^{0.302} (1 + K_{wv})^{0.94} (L/D)^{0.10}$

$W_{\text{main landing gear}} = 0.0106 K_{mp} W_f^{0.888} N_f^{0.25} L^{0.4} N_{ms}^{0.321} N_{ms}^{0.3} V_{stall}^{0.1}$

$W_{\text{nose landing gear}} = 0.032 K_{np} W_f^{0.646} N_f^{0.2} L^{0.5} N_{ns}^{0.45}$

$W_{\text{nacelle group}} = 0.6724 K_{ng} N_{fr}^{10} N_w^{0.294} N_c^{0.119} W_{cc}^{0.61} N_{ep}^{0.981} S_p^{0.224}$

$W_{\text{avionics}} = 1.73 W_{uv}^{0.993}$

$W_{\text{APU installed}} = 2.2 W_{APU}^{uninstalled}$

$W_{\text{instruments}} = 4.509 K_{ip} N_c^{0.541} N_{cn} (L_f + B_w)^{0.5}$

$W_{\text{hydraulics}} = 0.2673 N_c (L_f + B_w)^{0.937}$

$W_{\text{electrical}} = 7.291 R_{Ea}^{0.782} L_a^{0.346} N_{gen}^{0.10}$

$W_{\text{air conditioning}} = 62.36 N_p^{0.25} (V_{pr}/1000)^{0.604} W_{uv}^{0.10}$

$W_{\text{anti-icing}} = 0.002 W_{dg}$

$W_{\text{fuel system}} = 2.405 V_f^{0.606} (1 + V_f/V_i)^{-1.0} (1 + V_p/V_f) N_f^{0.5}$

$W_{\text{starter (pneumatic)}} = 49.19 \left(\frac{N_{ep} W_f}{1000} \right)^{0.541}$

$W_{\text{gear}} = 3.0 \times 10^{-4} W_{dg}$

$W_{\text{military cargo handling system}} = 2.4 \times (\text{cargo floor area ft}^2)$

30/10/2008 Cálculo de Aviones © 2008 Sergio Esteban Roncero

Propulsión y Actuaciones:

- Cálculos de potencia requerida y necesaria.
- Diagrama carga de pago-alcance.
- Diagrama de la envolvente de vuelo.

Actuaciones Integrales – Autonomía I

$$\frac{dR}{dW} = \frac{V}{-CT} = \frac{V}{-CD} = \frac{V(L/D)}{-CW} \quad \rightarrow \quad R = \int_{W_1}^{W_f} \frac{V(L/D)}{-CW} dW = \frac{V}{CD} \ln \left(\frac{W_f}{W_1} \right)$$

Optimizando para Jet – mínimo empuje

$$\frac{T}{W} = \frac{1}{L/D} = \frac{qC_{D0}}{(W/S)} + \left(\frac{W}{S} \right) \frac{K}{q} \quad \frac{\partial(T/W)}{\partial V} = \frac{\rho V C_{D0}}{W/S} - \frac{W}{S} \frac{2K}{\gamma_2 \rho V^3} = 0 \quad E = \frac{1}{C_l D} \ln \frac{W_0}{W_1}$$

$$V_{\text{min thrust or drag}} = \sqrt{\frac{2W}{\rho S} \sqrt{\frac{K}{C_{D0}}}} \quad C_{L_{\text{min thrust or drag}}} = \sqrt{\frac{C_{D0}}{K}} \quad D_{\text{min thrust or drag}} = qS \left[C_{D0} + K \left(\sqrt{\frac{C_{D0}}{K}} \right)^2 \right] = qS(C_{D0} + C_{D0})$$

Optimizando para Pistón – mínima potencia

$$F = \frac{\eta_{pr}}{c} \sqrt{2\rho_\infty S} \frac{C_L^{3/2}}{C_D} \left(W_1^{-1/2} - W_0^{-1/2} \right) \quad V_{\text{min power}} = \sqrt{\frac{2W}{\rho S} \sqrt{3C_{D0}}} \quad C_{L_{\text{min power}}} = \sqrt{\frac{3C_{D0}}{K}}$$

$$E = \int_{W_1}^{W_0} \frac{\eta_{pr}}{c} \sqrt{\frac{\rho_\infty S C_L}{2W}} \frac{C_L}{C_D} \frac{dW_f}{W} \quad D_{\text{min power}} = qS(C_{D0} + 3C_{D0})$$

